

I-B95

横拘束されたコンクリート柱の応力度～ひずみ関係 における除荷および再載荷剛性

東京工業大学大学院 学生員 塙 淳一
(日本学術振興会 特別研究員)

東京工業大学工学部 F会員 川島一彦

東京工業大学工学部 正会員 庄司 学

(株) ピー・エス 正会員 久保欣也

1. まえがき

ファイバーモデルを用いてRC橋脚の非線形動的解析を行う場合、除荷・再載荷を含むコンクリートの応力度～ひずみ関係が必要である。本文では、コンクリート柱の一軸圧縮載荷実験を行い、除荷・再載荷曲線を定式化した結果を報告する。

2. 実験に用いた供試体と載荷方法

実験には、設計基準強度を23.5MPaとした直径200mm、高さ600mmの円柱供試体を用いた。帶鉄筋としてはSD295、直径6mmの異形棒鋼をフレア溶接で配筋し、図-1に示すように帶鉄筋間隔を100mm(帶鉄筋比 $\rho_s=0.67\%$ 、Aタイプ)、50mm($\rho_s=1.33\%$ 、Bタイプ)、25mm($\rho_s=2.67\%$ 、Cタイプ)と変化させた。

供試体には、一軸圧縮状態で0.5mm/分の載荷速度で変位制御により図-2に示す載荷履歴に基づき荷重を作成させた。AおよびBタイプでは除荷ひずみ ε_{ul} を最大圧縮応力度時のひずみ ε_{cc} の1/2および1/4のn倍(n=1, 2, ...)とした。これらをそれぞれ載荷履歴1、載荷履歴2と呼ぶ。これらではいずれも、ある ε_{ul} における除荷、再載荷の回数を1回としているが、 ε_{ul} は載荷履歴1と同じとし、除荷、再載荷の回数を3回としたのが載荷履歴3である。Cタイプでは、ひずみの増加とともに応力度が増加し続け、 ε_{ul} を直接求められないため、Bタイプの ε_{ul} と同じ値を用いることとした。

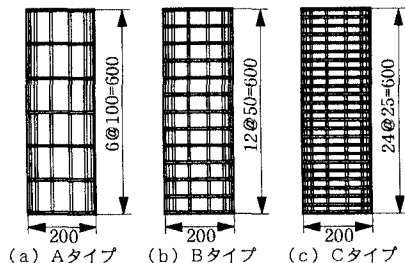


図-1 帯鉄筋の配置

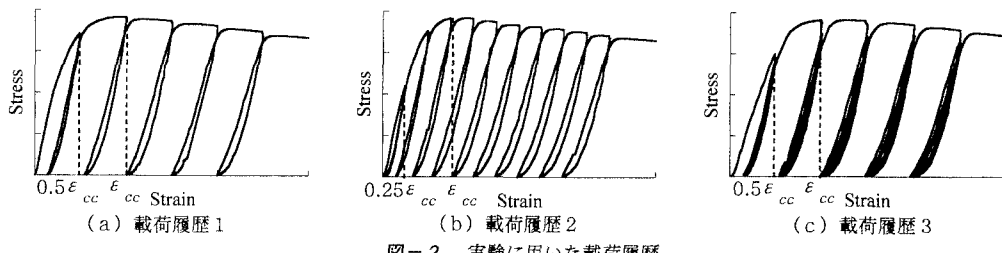


図-2 実験に用いた載荷履歴

3. コンクリート柱の除荷剛性、再載荷剛性の推定

図-3に示すように履歴曲線のある点と原点とを結んだ割線剛性を E_0 、この点から応力度が0となるまで除荷した場合の割線剛性(除荷剛性)を E_{ul} 、応力度が0の点から再載荷した場合の割線剛性(再載荷剛性)を E_{rl} とし、それぞれ以下のように定義する。

$$E_0 = \frac{\sigma_{ul}}{\varepsilon_{ul}} \quad (1) ; \quad E_{ul} = \frac{\sigma_{ul}}{\varepsilon_{ul} - \varepsilon_{pl}} \quad (2) ; \quad E_{rl} = \frac{\sigma_{rl}}{\varepsilon_{ul} - \varepsilon_{pl}} \quad (3)$$

いま、 E_{ul} に対する E_0 の比を以下のように与える。

$$\alpha_{ul} = \frac{E_0}{E_{ul}} \quad (4)$$

コンクリート柱、応力度～ひずみ関係、拘束効果、除荷・再載荷

〒152-8552 目黒区大岡山2-12-1 東京工業大学工学部土木工学科 TEL: 03-5734-2922 FAX: 03-5734-3577

α_{ul} の除荷点ひずみ ε_{ul} 依存性を図-4に示す。図-5には、再載荷剛性 E_{rl} の塑性点ひずみ ε_{pl} 依存性を示す。これらから、1) α_{ul} は除荷点ひずみ ε_{ul} が増加すると低下し、低下の度合いは ε_{ul} が増加する程緩やかになる、2) 帯鉄筋比 ρ_s が 0.67% ~ 2.67% の範囲では、 α_{ul} に対する ρ_s の影響は顕著ではない、3) 再載荷剛性 E_{rl} は塑性点ひずみ ε_{pl} が増加すると低下し、低下の度合いは ε_{pl} が増加する程緩やかになる、4) 再載荷剛性 E_{rl} は帶鉄筋比 ρ_s の影響を受け、 ρ_s が大きくなると E_{rl} は大きくなる、ことが分かる。以上より、 $E_{ul} \sim \varepsilon_{ul}$, σ_{ul} の関係および $E_{rl} \sim \varepsilon_{pl}$ の関係を回帰分析すると次式が得られる。

$$E_{ul} = 61.1 \sigma_{ul} \varepsilon_{ul}^{-0.372} \quad (r^2 = 0.95) \quad (5)$$

$$E_{rl} = \begin{cases} 2554 \varepsilon_{pl}^{-0.239} & (r^2 = 0.89) \\ 5174 \varepsilon_{pl}^{-0.130} & (r^2 = 0.93) \\ 6849 \varepsilon_{pl}^{-0.099} & (r^2 = 0.90) \end{cases} \quad \rho_s = 0.67\%, 1.33\%, 2.67\% \quad (6)$$

ここで、 r^2 は決定係数である。

4. 除荷曲線、再載荷曲線の定式化

除荷曲線および再載荷曲線がひずみ ε_c および帶鉄筋比 ρ_s によってどのように変化するかを示した一例が図-6である。これによれば、無次元化ひずみ $\tilde{\varepsilon} = (\varepsilon_c - \varepsilon_{pl}) / (\varepsilon_{ul} - \varepsilon_{pl})$ を用いて整理すれば除荷曲線、再載荷曲線とともに、帶鉄筋比 ρ_s の影響をほぼ除去できることが分かる。図-6を回帰すると除荷曲線、再載荷曲線は、次式のようになる。

$$\text{除荷曲線} ; \quad \sigma_c = \sigma_{ul} \left(\frac{\varepsilon_c - \varepsilon_{pl}}{\varepsilon_{ul} - \varepsilon_{pl}} \right)^2 \quad (7)$$

$$\text{再載荷曲線} ; \quad \sigma_c = E_{rl} (\varepsilon_c - \varepsilon_{pl}) \quad (8)$$

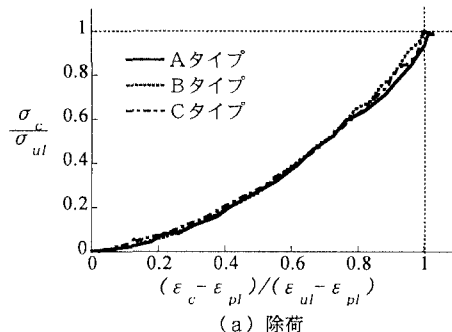


図-6 除荷、再載荷曲線に及ぼす帶鉄筋比 ρ_s の影響 (除荷ひずみを $\varepsilon_{ul} = 0.006$ とした場合)

5. 結論

除荷剛性 E_{ul} を除荷点応力度 σ_{ul} および除荷点ひずみ ε_{ul} の関数として式(5)のように、また再載荷剛性 E_{rl} を帶鉄筋比 ρ_s に応じて塑性ひずみ ε_{pl} の関数として式(6)のように与えられることを示した。

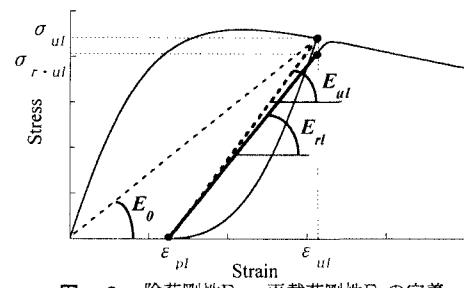


図-3 除荷剛性 E_{ul} 、再載荷剛性 E_{rl} の定義

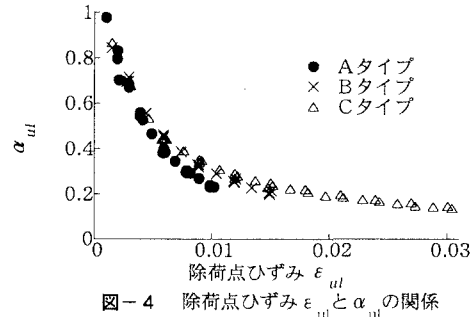


図-4 除荷点ひずみ ε_{ul} と α_{ul} の関係

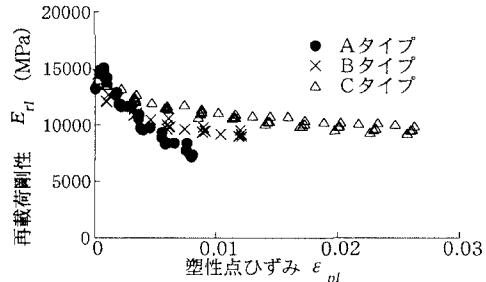
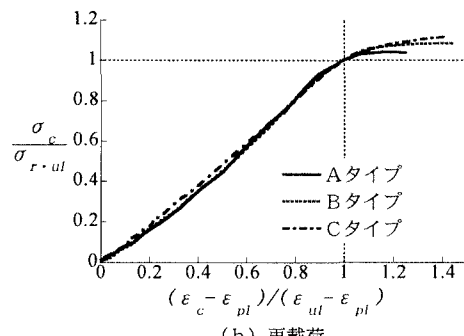


図-5 塑性点ひずみ ε_{pl} と再載荷剛性 E_{rl} の関係



(b) 再載荷